

# 溶融亜鉛メッキ超高張力TRIP鋼の成形性

長野工業高等専門学校 機械工学科

教授 長坂明彦

(平成17年度研究開発助成 AF-2005015)

キーワード：TRIP鋼、伸びフランジ性、YAGレーザ切断

## 1. 緒言

近年、乗用車の各種メンバー類には優れたプレス成形性を有する高強度低合金TRIP<sup>1)</sup>鋼板の適用が期待されている<sup>2)~9)</sup>。また、合金元素は易酸化性であるため鋼板表面で酸化物を形成しやすく、特にSiは成形性に悪影響を及ぼすことが知られている<sup>10)</sup>。これまでの報告<sup>2)</sup>では、母相組織を制御したC-Si-Mn系TRIP鋼の伸びフランジ性に及ぼすレーザ切断の影響を調査したものであり、980MPa級以上の超ハイテンの伸びフランジ性を考慮したとき、より優れた伸びフランジ性が期待される母相組織をベニティックフェライト( $\alpha_{bf}$ )としたTRIP鋼(TBF鋼)<sup>3)</sup>の伸びフランジ性に及ぼすレーザ切断条件<sup>11,12)</sup>の影響についての報告はほとんどない。

そこで本研究では、母相組織をベニティックフェライトとしたM<sub>S</sub>点の異なるTRIP鋼(TBF鋼)の伸びフランジ性に及ぼすYAGレーザ切断条件の影響を調査した。

## 2. 実験方法

供試鋼には表1に示す化学組成を有する冷延まま鋼板(板厚1.2mm)を用いた。TBF鋼は、950°C、1200sのオーステナイト化後、375°Cまたは450°Cのソルトバスに急冷、200s保持のオーステンパ処理を施した(図1)。M<sub>S</sub>点は次式<sup>13)</sup>より求めた。

$$M_S (\text{°C}) = 550 - 361 \times (\%C) - 39 \times (\%Mn) - 0 \times (\%Si) + 30 \times (\%Al) - 5 \times (\%Mo) \dots \dots (1)$$

ここで、オーステンパ温度には鋼のM<sub>S</sub>点(420°C)の前後の温度を採用した。比較として、780°C、1200sの2

表1 供試鋼の化学成分 (mass%)

steel	C	Si	Mn	P	S	Al
TBF	0.20	1.51	1.51	0.015	0.0011	0.040
TDP1	0.10	1.49	1.50	0.015	0.0012	0.038
TDP2	0.20	1.51	1.51	0.015	0.0011	0.040
TDP3	0.29	1.46	1.50	0.014	0.0012	0.043
TDP4	0.40	1.49	1.50	0.015	0.0012	0.045
MDP	0.14	0.21	1.74	0.013	0.0030	0.037

相域で焼鈍をした後、400°C、1000sのオーステンパ処理を施し、TDP鋼を作製した。なお、TDP鋼はSiおよびMn添加量をほぼ一定とし、C添加量を0.1~0.4mass%の範囲で変化させた。以後、これらの鋼をTDP1~TDP4と呼ぶ。また、残留オーステナイト( $\gamma_R$ )を含まないフェライト・マルテンサイト複合組織鋼(MDP鋼)も用いた。

引張試験にはJIS13B号試験片(図2)を用い、クロスヘッド速度1mm/min(標点距離GL=50mm、平均ひずみ速度 $2.8 \times 10^{-4}/\text{s}$ )で行った。

穴広げ試験には、直径50mmの円板状試験片を用い、初期穴径5mmをレーザ切断、パンチ打抜き加工後、平頭パンチで成形(成形速度1mm/min)した(図3)。いずれの試験にもグラファイト系潤滑剤を使用した。なお、レーザ切断にはYAGレーザ加工機(最大平均出力350W、最大ピーク出力4.5kW)を用いた。レーザ加工条件はパルスエネルギーE=2~4J/Pと変化させ、パルス幅2ms、パルス繰り返し数25Hz、加工速度100mm/minとし、酸素をアシストガス(0.5MPa)とした。パンチ打抜き加工には、インストロン型万能試験機を用い、試験片にグラファイト系潤滑剤を塗布した。打抜きクリアランスを板厚の10%、打抜き速度10mm/minと一定にした。

表2 TBF鋼の機械的特性

steel	$T_A$ (°C)	$f$ (vol%)	$f_{\alpha m}$ (vol%)	$f_{\gamma 0}$ (vol%)	$C_{\gamma 0}$ (mass%)	YS (MPa)	TS (MPa)	UE l (%)	TE l (%)	RA (%)
TBF375	375	8.9	0	8.9	1.16	971	1154	4.4	7.8	40.3
TBF450	450	19.3	8.1	11.2	0.96	617	918	14.2	18.2	44.5

$T_A$ : オーステンパ温度,  $f$ ,  $f_{\alpha m}$ ,  $f_{\gamma 0}$ : 第2相体積率, マルテンサイトの体積率, 残留オーステナイトの体積率,

$C_{\gamma 0}$ : 残留オーステナイトの初期炭素濃度, YS: 降伏応力, TS: 引張強さ, UE l: 均一伸び, TE l: 全伸び, RA: 紋り.

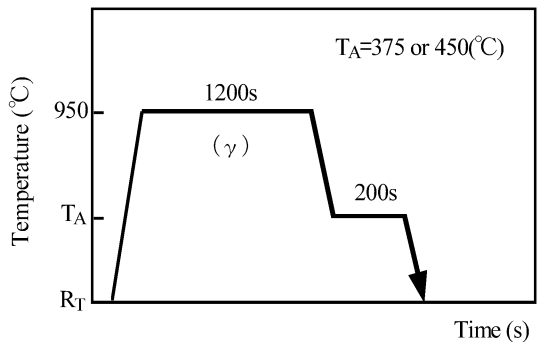


図 1 TBF 鋼の熱処理曲線 ( $R_T$ : 室温)

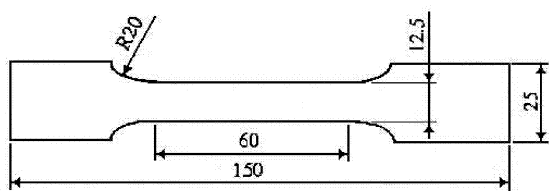
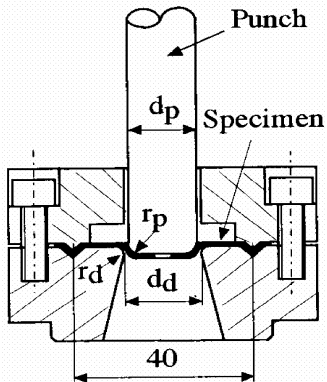


図 2 JIB13B 号引張試験片形状



$$(d_p = 17.4 \text{ mm}, r_p = 3.0 \text{ mm}, d_d = 22 \text{ mm}, r_d = 1 \text{ mm})$$

図 3 試験金型

なお、伸びフランジ性は次式の穴広げ率 ( $\lambda$ ) で評価した。

$$\lambda = (d_f - d_0) / d_0 \times 100 \% \cdots \cdots (2)$$

ここで、 $d_0$ 、 $d_f$  はそれぞれ初期穴径、き裂発生時の穴径である。

$\gamma_R$  の初期体積率  $f_{\gamma_0}$  は X 線回折法 (Mo-K $\alpha$  線) により  $(200)\alpha$ ,  $(211)\alpha$ ,  $(200)\gamma$ ,  $(220)\gamma$  および  $(311)\gamma$  の 5 ピーク法<sup>14)</sup> を用いた。また、 $\gamma_R$  中の初期炭素濃度  $C_{\gamma_0}$  (mass%) は、Cr-K $\alpha$  線の回折面  $(220)\gamma$  から求めた格子定数  $a_\gamma$  (nm) を次式<sup>15)</sup> に代入して計算した。

$$C_{\gamma_0} = (a_\gamma - 0.35467) / 4.67 \times 10^{-3} \cdots \cdots (3)$$

### 3. 実験結果および考察

#### 3.1 微細組織と引張特性

図 4 に TBF 鋼の組織写真を示す。(a) はオーステンパ温度を  $375^\circ\text{C}$  としたもの、(b) はオーステンパ温度を  $450^\circ\text{C}$  としたものである。白い部分が残留オーステナイト ( $\gamma_R$ ) あるいはマルテンサイト ( $\alpha_m$ )、グレーの部分がベイニティックフェライト ( $\alpha_{bf}$ ) を示す。また、熱処理を施した後の TBF 鋼の第 2 相および  $\gamma_R$  特性を表 2 に示す。 $375^\circ\text{C}$  でオーステンパ処理を施した TBF 鋼 (以下では、TBF375 と呼ぶ) の組織は主に  $\alpha_{bf}$  と  $\gamma_R$  からなり、 $\gamma_R$  の大半はフィルム状に存在する。一方、 $450^\circ\text{C}$  でオーステンパ処理を施した TBF 鋼 (以下では、TBF450 と呼ぶ) では同様に  $\alpha_{bf}$  を母相とし、第 2 相として  $\gamma_R$  の他に 8.1 vol% のマルテンサイトが存在する (表 2)。

このとき、TBF375 に比較して TBF450 は  $\gamma_R$  の炭素濃度  $C_{\gamma_0}$  は低下するが、 $\gamma_R$  量は増加する。

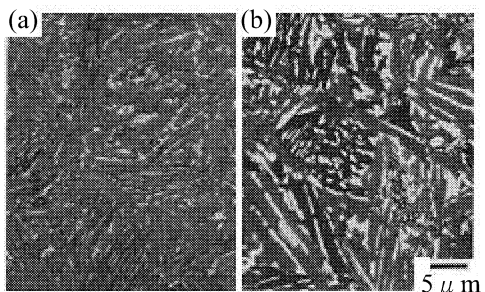


図 4 TBF 鋼の組織写真。

((a) TBF375, (b) TBF450)  
(白 :  $\gamma_R$  あるいは  $\alpha_m$ , グレー :  $\alpha_{bf}$ )

#### 3.2 伸びフランジ性

図 5 に穴広げ率  $\lambda$  と引張強さ  $TS$  の関係を示す。ここで、TBF 鋼以外は  $E=4\text{J/P}$  のレーザ切断である。TBF 鋼においてパンチ打抜きに比較してレーザ切断は高  $TS$  にも関わらず高い  $\lambda$  値を示している。また、レーザ加工条件のパルスエネルギーにおいて、両 TBF 鋼の  $\lambda$  が  $E=4\text{J/P}$  の場合さらに高い値を示す傾向にある。一方、TDP 鋼においては C 量の増加に伴い、レーザ切断およびパンチ打抜きの穴広げ率  $\lambda$  はそれぞれ低下する。なお、C 量が 0.3 mass% 以上になると、良好であったレーザ穴の  $\lambda$  値が、パンチ打抜きの場合と同程度にまで低下する。

図 6 に、伸びフランジ性の指標として、パルスエネルギー  $E$  の異なる TBF 鋼における引張強さ  $TS$  と穴広げ率  $\lambda$  の積、すなわち強度-伸びフランジ性バランス  $TS \times \lambda$  の比較を示す。パルスエネルギー  $E=4\text{J/P}$  において TBF450 と比べ、TBF375 では  $TS \times \lambda$  が 100 GPa% 以上という良好な結果が得られた。一方、TDP 鋼は 0.3 mass% C 以上になると、 $TS \times \lambda$  が半減することがわかる (図 5)。M<sub>S</sub> 点以下の TBF 鋼 (TBF375) は、組織の微細化等により、穴広げ時にレーザ切断の効果を高めることができたと考えられる (図 4(a))。

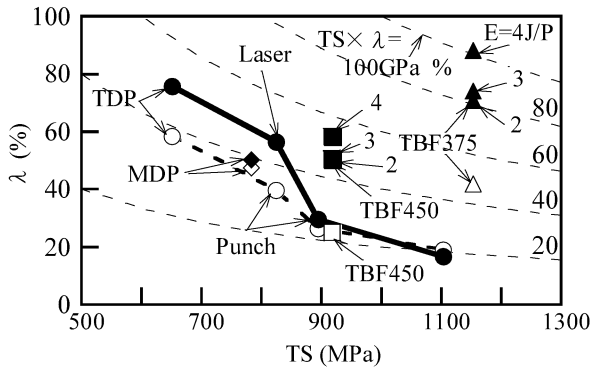


図 5 穴広げ率 ( $\lambda$ ) と引張強さ (TS) の関係

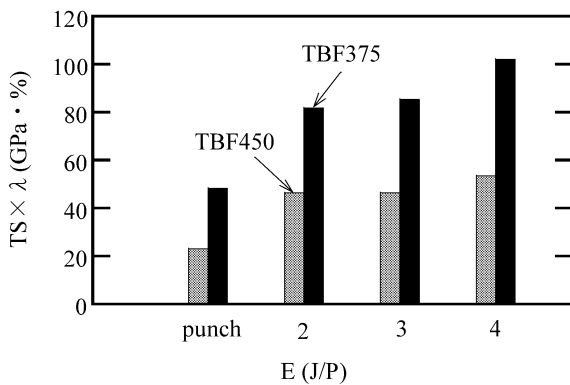


図 6 TBF 鋼における強度-伸びフランジ性バランス ( $TS \times \lambda$ ) とパルスエネルギー ( $E$ ) の比較

### 3.3 レーザ加工による伸びフランジ性の改善機構

図 7 に TBF450 における初期穴加工後のパンチ打抜きおよびレーザ切断面の切り口面を示す。図 7 (a)はパンチ打抜き断面であり、(b)はパルスエネルギー  $E=4\text{J/P}$  におけるレーザ切断面である。

一般に、パンチ打抜き穴には打抜き方向に伴いだれ、せん断面、破断面が形成される。TDP 鋼においては C 量の増加に伴い、 $\lambda$  値を低下させる一因である破断面長さは増加する傾向にある<sup>2)</sup>。

一方、レーザ切断の場合においては、鋼種やパルスエネルギーの変化においてもレーザ切断面に明確な違いはみられなかった。

図 8 には TBF375 におけるレーザ切断面からのビックアース押込み硬さ分布を示す。オープンマークが TBF375 のパルスエネルギー  $E=2\text{J/P}$ 、ソリッドマークが TBF375 の  $E=4\text{J/P}$  である。切断面の熱影響部である切断面から  $20\mu\text{m}$  の部分と母材である  $40\mu\text{m}$  の部分の硬さに注目すると、切断面から距離が離れるにつれ、硬さが低下し、母材で一定となる。2つを比較してみると、ほぼ同等な傾向にあることがわかる。TBF450 においてもパルスエネルギー  $E=2\text{J/P}$  と  $E=4\text{J/P}$  とでは明確な違いが見られなかった。

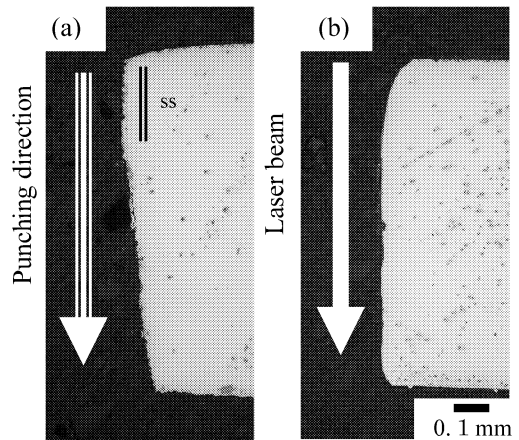


図 7 TBF450 鋼における初期加工後のパンチ打抜きとレーザ切断面の切り口断面

((a) パンチ打抜き、(b) レーザ切断 ( $E=4\text{J/P}$ )  
(ss:せん断面長さ)

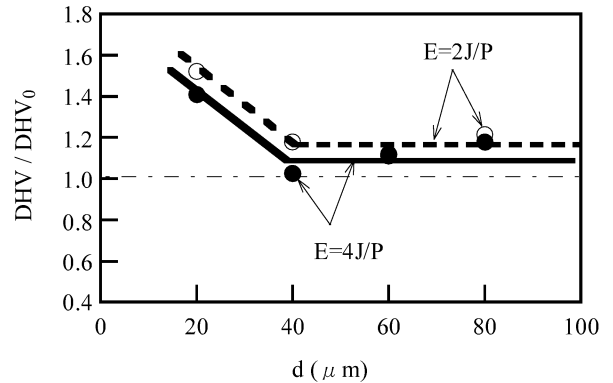


図 8 レーザ切断面からのビックアース押込み硬さ分布

図 9 に TBF 鋼の切断面外観を示す。TBF375 の  $E=4\text{J/P}$ において、上面からレーザが入射されることで、下面にドロスが発生する。同様に、 $E=2\sim3\text{J/P}$ においてもドロスは発生した。

図 10 に TBF 鋼の切断面の正面からの写真を示す。図 10 (a)は TBF375 におけるパルスエネルギー  $E=2\text{J/P}$  で切断したものであり、(b)はパルスエネルギー  $E=4\text{J/P}$  で切断したものである。(a)において弓状模様が観察され、(b)においてはそれが観察されなかった。パルスエネルギーの違いにより切断面表面に明瞭な違いが見られた。

図 11 に表面粗さとパルスエネルギーの関係を表す。測定にはレーザ顕微鏡を用い、中心線平均粗さ ( $R_a$ ) で評価した。TBF375 のパルスエネルギー  $E=2\text{J/P}$  において  $R_a$  値が  $2.81$ 、 $E=4\text{J/P}$  の  $R_a$  値が  $2.09$  という結果が得られた。パルスエネルギーの違いにより切断面に明確な違いが見られる。これが  $\lambda$  値を改善に影響した要因の一つではないかと考えられる。

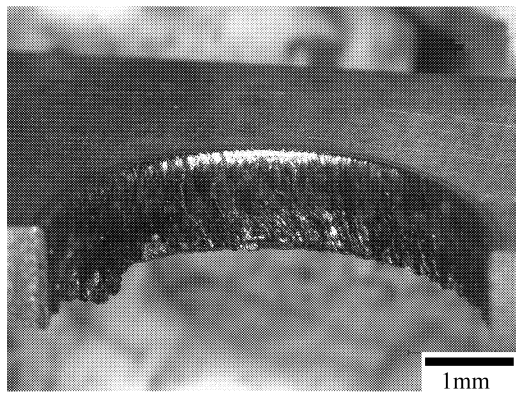


図9 TBF鋼の切断面外観  
(TBF375, パルスエネルギーE=4J/P)

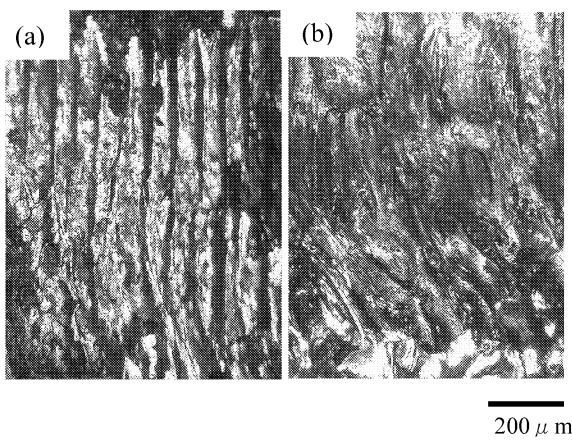


図10 TBF鋼の切断面写真 (TBF375, 正面)  
((a) E=2J/P, (b) E=4J/P)

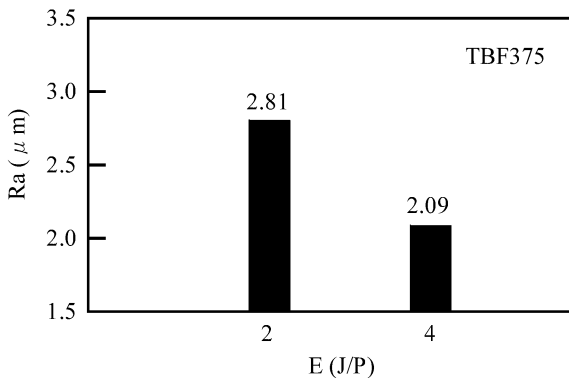


図11 表面粗さ (Ra) とパルスエネルギー (E) の関係

#### 4. 結言

TRIP鋼板の伸びフランジ性に及ぼすYAGレーザ切断条件の影響を調査した。主な結果は以下の通りである。

- (1) 超ハイテンの伸びフランジ性は、母相組織をベイニティックフェライトとしたTRIP鋼でレーザ切断が効果的に作用した。
- (2)  $M_s$ 点以下のTBF鋼(TBF375)は、組織の微細化により、穴広げ時にレーザ切断の効果を高めた。

#### 謝辞

最後に本研究をご支援いただきました、(財)天田金属加工機械技術振興財団に対し、深く感謝の意を表します。

#### 参考文献

- 1) Zackay, V. F., Parker, E. R., Fahr, D., and Busch, R.: Trans. Am. Soc. Met., 60, p.252 (1967).
- 2) 長坂明彦, 杉本公一, 小山敦史, 橋本俊一, 鹿島高弘, 北條智彦, 三尾 敦: 熱処理, 46, p.25 (2006).
- 3) 長坂明彦, 杉本公一, 窪田優一, 小山敦史, 向井陽一, 北條智彦: 熱処理, 47, p.71 (2007).
- 4) 杉本公一, 宋 星武, 坂口淳也, 長坂明彦, 鹿島高弘: 鉄と鋼, 91, p.278 (2005).
- 5) Sugimoto, K., Usui, N., Kobayashi, M., and Hashimoto, S.: ISIJ Int., 32, p.1311 (1992).
- 6) 長坂明彦, 杉本公一, 小林光征, 白沢秀則: 鉄と鋼, 84, p.218 (1998).
- 7) Sugimoto, K., Kanda, A., Kikuchi, R., Hashimoto, S., Kashima, T. and Ikeda, S.: ISIJ Int., 42, p.910 (2002).
- 8) 長坂明彦, 杉本公一, 小林光征, 橋本俊一: 鉄と鋼, 85, p.552 (1999).
- 9) 長坂明彦, 杉本公一, 小林光征, 小林義一, 橋本俊一: 鉄と鋼, 87, p.607 (2001).
- 10) 野村正裕, 橋本郁朗, 上妻信二, 嘉村 学, 大宮良信: 鉄と鋼, 92, p.378 (2006).
- 11) 白沢秀則, 橋本俊一, 三村和弘, 郡田和彦: 鉄と鋼, 16, p.1949 (1985).
- 12) 林 央, 手銭克巳, 雨池龍男: 塑性と加工, 27, p.984 (1986).
- 13) 田村今男: 鉄鋼材料強度学, 日刊工業新聞社, (1969)
- 14) 円山 弘: 熱処理, 17, p.198 (1977).
- 15) 西山善次: マルテンサイト変態 基本編, 丸善, 東京, p.13 (1971).